

和分変換による格子平板の曲げ振動解析

岩手大学工学部 学生員 ○細川 健次
岩手大学工学部 正員 岩崎 正二

1. まえがき

本論文は格子平板に周期的な支点変位が与えられた場合の強制振動問題について論じたものである。その方法は桁要素について Consistent Mass を考え、格子点の力の釣合より時間と連続変数として Flexibility を Discrete とする3連微分差分方程式を誘導しこれをフーリエ定和分変換と逆変換を用いて解析したものである。

2. つりあい式

図のように $m+1, n+1$ 本の桁が等間隔 λ_1 , λ_2 に剛結直交する格子平板を考える。 x, y 格点の y 軸まわりの回転角を θ_{xy} , x 軸まわりを θ'_{xy} , たわみを δ_{xy} とすると慣性項を考慮したたわみ角公式は

$$M_{xx+1} = 2K_1 \{ 2\theta_{xy} + \theta_{x+1,y} - \frac{3}{\lambda_1} (\delta_{x+1,y} - \delta_{xy}) \} + C_1 \lambda_1 \left(\frac{11}{270} \ddot{\delta}_{xy} + \frac{13}{420} \ddot{\delta}_{x+1,y} \right) + C_1 \lambda_1^2 \left(\frac{1}{105} \ddot{\theta}_{xy} - \frac{1}{740} \ddot{\theta}_{x+1,y} \right) + C_1 \lambda_1 \frac{\ddot{\delta}}{12} \quad (1)$$

$$M_{xx-1} = 2K_1 \{ 2\theta_{xy} + \theta_{x-1,y} - \frac{3}{\lambda_1} (\delta_{x-1,y} - \delta_{xy}) \} - C_1 \lambda_1 \left(\frac{13}{420} \ddot{\delta}_{xy} + \frac{11}{270} \ddot{\delta}_{x-1,y} \right) + C_1 \lambda_1^2 \left(\frac{1}{105} \ddot{\theta}_{xy} - \frac{1}{740} \ddot{\theta}_{x-1,y} \right) - C_1 \lambda_1 \frac{\ddot{\delta}}{12} \quad (2)$$

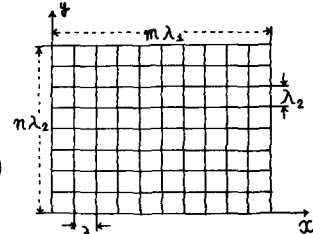


図-1 格子平板

$$T_{y,y+1} = B_2 (\theta_{xy} - \theta_{x,y+1}) + \frac{B_2 I_p \lambda_2}{6} (2\dot{\theta}_{xy} + \dot{\theta}_{x,y+1}) \quad (3) \quad T_{y,y-1} = B_2 (\theta_{xy} - \theta_{x,y-1}) + \frac{B_2 I_p \lambda_2}{6} (2\dot{\theta}_{xy} + \dot{\theta}_{x,y-1}) \quad (4)$$

$$S_{x,x+1} = K_1 \left\{ \frac{6}{\lambda_1} (\theta_{xy} + \theta_{x+1,y}) - \frac{12}{\lambda_1^2} (\delta_{x+1,y} - \delta_{xy}) \right\} + C_1 \left\{ \frac{1}{70} (26\ddot{\delta}_{xy} + 9\ddot{\delta}_{x+1,y}) + \frac{\lambda_1}{420} (22\ddot{\theta}_{xy} - 13\ddot{\theta}_{x+1,y}) + \frac{\ddot{\delta}}{2} \right\} \quad (5)$$

$$S_{x,x-1} = K_1 \left\{ -\frac{6}{\lambda_1} (\theta_{xy} + \theta_{x-1,y}) - \frac{12}{\lambda_1^2} (\delta_{x-1,y} - \delta_{xy}) \right\} + C_1 \left\{ \frac{1}{70} (26\ddot{\delta}_{xy} + 9\ddot{\delta}_{x-1,y}) + \frac{\lambda_1'}{420} (-22\ddot{\theta}_{xy} + 13\ddot{\theta}_{x-1,y}) + \frac{\ddot{\delta}}{2} \right\} \quad (6)$$

$$S_{y,y+1} = K_2 \left\{ \frac{6}{\lambda_2} (\theta'_{xy} + \theta'_{x,y+1}) - \frac{12}{\lambda_2^2} (\delta_{y+1,y} - \delta_{xy}) \right\} + C_2 \left\{ \frac{1}{70} (26\ddot{\delta}_{xy} + 9\ddot{\delta}_{y+1,y}) + \frac{\lambda_2}{420} (22\ddot{\theta}_{xy} - 13\ddot{\theta}_{y+1,y}) + \frac{\ddot{\delta}}{2} \right\} \quad (7)$$

$$S_{y,y-1} = K_2 \left\{ -\frac{6}{\lambda_2} (\theta'_{xy} - \theta'_{x,y-1}) - \frac{12}{\lambda_2^2} (\delta_{y-1,y} - \delta_{xy}) \right\} + C_2 \left\{ \frac{1}{70} (26\ddot{\delta}_{xy} + 9\ddot{\delta}_{y-1,y}) + \frac{\lambda_2}{420} (-22\ddot{\theta}_{xy} + 13\ddot{\theta}_{y-1,y}) + \frac{\ddot{\delta}}{2} \right\} \quad (8)$$

ここで $K_1 = \frac{EI_x}{\lambda_1}$, $K_2 = \frac{EI_x}{\lambda_2}$, $B_1 = \frac{GJ_x}{\lambda_1}$, $B_2 = \frac{GJ_x}{\lambda_2}$, $C_1 = \rho_1 A_1 \lambda_1$, $C_2 = \rho_2 A_2 \lambda_2$, $\ddot{\delta}$: 支点の地動変位, $\ddot{\delta} = \frac{\partial^2 f}{\partial t^2}$, EI : 曲げ剛性, GJ : 摆り剛性, ρ : 単位体積質量, A : 断面積, I_p : 断面2次モーメント。

図-2 より格子の任意格点 (x, y) 点の x 軸, y 軸まわり

のモーメントの釣合, セン断力の釣合をとると

$$M_{x,x+1} + M_{x,x-1} + T_{y,y+1} + T_{y,y-1} = 0 \quad (9)$$

$$M_{y,y+1} + M_{y,y-1} + T_{x,x+1} + T_{x,x-1} = 0 \quad (10)$$

$$S_{x,x+1} + S_{x,x-1} + S_{y,y+1} + S_{y,y-1} = 0. \quad (11)$$

(9), (10), (11) 式に (1) ~ (8) 式を代入し 整理すると

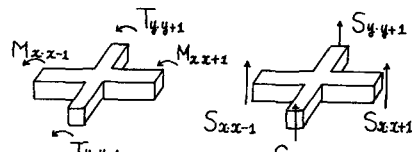


図-2 (x, y) 点の力のつりあい

$$2K_1 \left\{ \Delta_x^2 \theta_{x-1,y} + 6\theta_{xy} - \frac{3}{\lambda_1} \Delta_y \delta_{x-1,y} \right\} - B_2 \Delta_y^2 \theta_{x,y-1} + C_1 \left\{ \frac{13\lambda_1}{420} \Delta_x \delta_{x-1,y} - \frac{\lambda_1^2}{420} (3\Delta_y^2 \theta_{x-1,y} - 2\ddot{\theta}_{xy}) \right\} + C_2 \frac{\lambda_2^2}{6} (\Delta_y^2 \ddot{\theta}_{xy-1} + 6\ddot{\theta}_{xy}) = 0 \quad (12)$$

$$2K_2 \left\{ \Delta_y^2 \theta_{x,y-1} + 6\theta'_{xy} - \frac{3}{\lambda_2} \Delta_y \delta_{x,y-1} \right\} - B_1 \Delta_x^2 \theta'_{x-1,y} + C_2 \left\{ \frac{13\lambda_2}{420} \Delta_y \delta_{x,y-1} - \frac{\lambda_2^2}{420} (3\Delta_x^2 \theta'_{x-1,y} - 2\ddot{\theta}'_{xy}) \right\} + C_1 \frac{\lambda_1^2}{6} (\Delta_x^2 \ddot{\theta}'_{x-1,y} + 6\ddot{\theta}'_{xy}) = 0 \quad (13)$$

$$\frac{6K_1}{\lambda_1} \left\{ \Delta_x \theta_{x-1,y} - \frac{2}{\lambda_1} \Delta_x^2 \delta_{x-1,y} \right\} + \frac{6K_2}{\lambda_2} \left\{ \Delta_y \theta'_{x,y-1} - \frac{2}{\lambda_2} \Delta_y^2 \delta_{x,y-1} \right\} + C_1 \left\{ \frac{1}{70} (9\Delta_x^2 \ddot{\theta}_{x-1,y} + 70\ddot{\theta}_{xy}) - \frac{13\lambda_1}{420} \Delta_x \ddot{\theta}_{x-1,y} + \frac{\ddot{\delta}}{2} \right\} + C_2 \left\{ \frac{1}{70} (9\Delta_y^2 \ddot{\theta}_{x,y-1} + 70\ddot{\theta}_{xy}) - \frac{13\lambda_2}{420} \Delta_y \ddot{\theta}'_{x,y-1} + \frac{\ddot{\delta}}{2} \right\} \quad (14)$$

ここで $\Delta_x^2 \theta_{x-1,y} = \theta_{x+1,y} - 2\theta_{xy} + \theta_{x-1,y}$, $\Delta_y \theta'_{x,y-1} = \theta'_{y+1,y} - \theta'_{xy} - \theta'_{y-1,y}$,

$$\Delta_y^2 \theta'_{x,y-1} = \theta'_{x,y+1} - 2\theta'_{xy} + \theta'_{x,y-1}$$
, $\Delta_y \delta_{x,y-1} = \delta_{x,y+1} - \delta_{x,y-1}$, $r_{s1} = \frac{I_{p1}}{A_1}$, $r_{s2} = \frac{I_{p2}}{A_2}$.

3 解式

(12), (13), (14) 式にそれぞれ $C_i Sr$, $S_i Cr$, $S_i Sr$ 変換を作用させ, 4辺ヒンジの境界条件を代入し整理すると

$$\begin{pmatrix} K_{11} & K_{12} & K_{13} \\ K_{21} & K_{22} & K_{23} \\ \text{Sym.} & K_{33} \end{pmatrix} \begin{pmatrix} R_i Sr[\theta_{xy}] \\ S_i Rr[\theta'_{xy}] \\ S_i Sr[\delta_{xy}] \end{pmatrix} + \begin{pmatrix} M_{11} & M_{12} & M_{13} \\ M_{21} & M_{22} & M_{23} \\ \text{Sym.} & M_{33} \end{pmatrix} \begin{pmatrix} R_i Sr[\ddot{\theta}_{xy}] \\ S_i Rr[\ddot{\theta}'_{xy}] \\ S_i Sr[\ddot{\delta}_{xy}] \end{pmatrix} = \begin{pmatrix} F_1 \\ F_2 \\ F_3 \end{pmatrix} \quad (15)$$

$$\text{ここで } R_i Sr[\theta_{xy}] = \frac{(-1)^i}{2} \sum_{y=1}^{n-1} \theta_{my} \sin \frac{i\pi}{n} y + \frac{1}{2} \sum_{y=1}^{n-1} \theta_{oy} \sin \frac{i\pi}{n} y + \sum_{x=1}^{m-1} \sum_{y=1}^{n-1} \theta_{xy} \cos \frac{i\pi}{m} x \sin \frac{i\pi}{n} y$$

$$S_i Rr[\theta'_{xy}] = \frac{(-1)^i}{2} \sum_{x=1}^{m-1} \theta'_{xn} \sin \frac{i\pi}{m} x + \frac{1}{2} \sum_{x=1}^{m-1} \theta'_{zo} \sin \frac{i\pi}{m} x + \sum_{x=1}^{m-1} \sum_{y=1}^{n-1} \theta'_{xy} \sin \frac{i\pi}{m} x \cos \frac{i\pi}{n} y$$

$$S_i Sr[\delta_{xy}] = \sum_{x=1}^{m-1} \sum_{y=1}^{n-1} \delta_{xy} \sin \frac{i\pi}{m} x \sin \frac{i\pi}{n} y$$

$$K_{11} = 2K_1(6-D_i) + B_2 D_r, \quad K_{12} = 0, \quad K_{13} = -\frac{12K_1}{\lambda_1} \sin \frac{i\pi}{m}, \quad K_{22} = 2K_2(6-D_r) + B_1 D_i$$

$$K_{23} = -\frac{12K_2}{\lambda_2} \sin \frac{i\pi}{n}, \quad K_{33} = \frac{12K_1}{\lambda_1^2} D_i + \frac{12K_2}{\lambda_2^2} D_r$$

$$M_{11} = \frac{C_2 \lambda_1^2}{420} (2+3D_i) + \frac{C_2}{6} I_{32}^2 (6-D_r), \quad M_{12} = 0, \quad M_{13} = \frac{13C_1}{210} \lambda_1 \sin \frac{i\pi}{m}$$

$$M_{22} = \frac{C_2 \lambda_2^2}{420} (2+3D_r) + \frac{C_1}{6} I_{31}^2 (6-D_i), \quad M_{23} = \frac{13C_2}{310} \lambda_2 \sin \frac{i\pi}{n}, \quad M_{33} = C_1 \left(1 - \frac{9}{70} D_i\right) + C_2 \left(1 - \frac{9}{70} D_r\right)$$

$$F_1 = -\frac{C_1}{12} \{1 - (-1)^i\} S_r[\dot{\delta}], \quad F_2 = -\frac{C_2}{12} \{1 - (-1)^i\} S_r[\dot{\delta}], \quad F_3 = -(C_1 + C_2) S_i Sr[\ddot{\delta}]$$

$$D_i = 2(1 - \cos \frac{i\pi}{m}), \quad D_r = 2(1 - \cos \frac{i\pi}{n}), \quad \dot{\delta} = a_0 \sin \omega t, \quad i=1,2,\dots,m, \quad r=1,2,\dots,n.$$

和分変換を作用させた後の変位ベクトル, 外力ベクトル, 剛性マトリックス, 質量マトリックスをそれぞれ $\{u\}$, $\{F\}$, $[K]$, $[M]$ で表わすと (15) 式は

$$[K]\{u\} + [M]\{\frac{d^2}{dt^2} u\} = \{F\}. \quad (16)$$

定常振動解は、外力が $\{F\} = \{\bar{F}\} \sin \omega t$ で与えられる場合, $\{u\} = \{\bar{u}_s\} \sin \omega t$ において (16) 式に代入すると

$$\{\bar{u}_s\} = [(K) - \omega^2 [M]]^{-1} \{\bar{F}\}. \quad (17)$$

又振動方程式は $\{F\} = 0$, $\{u_e\} = \{\bar{u}_e\} \sin(\omega t + \alpha)$ において (16) 式に代入すると $|(K) - \omega^2 [M]| = 0$ (18)

(18) 式を解いて固有値, 固有ベクトルを求める。固有ベクトルからなるモーダルマトリックスを $[V]$ とおき各固有値に対する未定定数を ψ とすると固有振動解の変位の像関数は $\{u_e\} = [V] \{\psi \sin(\omega t + \alpha)\}$ (19)

重ね合せの解は $\{u\} = \{\bar{u}_s\} \sin \omega t + [V] \{\psi \sin(\omega t + \alpha)\}$ (20)

初期条件 $t=0$ で $\{u\} = \{\dot{u}\} = 0$ より $\{\psi\}$, α を求め, (20) 式に代入し整理すると

$$\{u\} = \{\bar{u}_s\} \sin \omega t - \omega [V] \left[\frac{\sin \omega t}{\omega} \right] [V]^{-1} \{\bar{u}_s\} \quad (21)$$

最終的に上式を逆変換することより, 求める解 $\{\delta\}$ は下式のように表わされる。

$$\{\delta(x, y, t)\} = \frac{4}{mn} \sum_{i=1}^{m-1} \sum_{r=1}^{n-1} \{u(i, r, t)\} [I] \begin{Bmatrix} \cos \frac{i\pi}{m} x \sin \frac{i\pi}{n} y \\ \sin \frac{i\pi}{m} x \cos \frac{i\pi}{n} y \\ \sin \frac{i\pi}{m} x \sin \frac{i\pi}{n} y \end{Bmatrix} \quad (22)$$

ここで $[I]$ は単位行列, $\{\delta\}^T = \{\theta_{xy}, \theta'_{xy}, \delta_{xy}\}$

4. 数値計算例

計算に用いた数値は以下のとおりである。

$$m = n = 8, \quad \lambda_1 = \lambda_2 = 2m, \quad f_1 = f_2 = 0.8 t \cdot \sec^2/m^4$$

$$E = 2.1 \times 10^7 t/m^2, \quad I_x = I_y = 0.41667 \times 10^{-5} (m^4)$$

$$J = 2.8625 \times 10^{-6} (m^4), \quad A_1 = A_2 = 0.005 m^2, \quad a_0 = 0.01 m$$

参考文献; Nomachi; On a Stress Analysis of Grid Plate by

Finite Transforms Concerning Finite Integration.

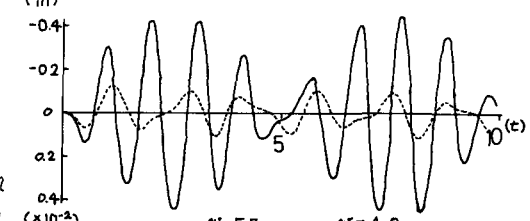


図-3 格子中央点の相対たわみ応答曲線